

A. Я. КАРВАЦЬКИЙ, д-р техн. наук, проф., НТУУ «КПІ», Київ;

I. Л. ШИЛОВИЧ, канд. техн. наук, доц., НТУУ «КПІ», Київ;

Л. В. КРУТОУС, студентка, НТУУ «КПІ», Київ;

С. В. КУТУЗОВ, ген. директор ПАО «Укрграфіт», Запоріжжя

ЗНИЖЕННЯ КОНЦЕНТРАЦІЇ СО В ПРОЦЕСІ ВИПАЛУ ГРАФІТОВИХ ЗАГОТОВОВОК

Проведені розрахунки температурних полів камер печі з заготовками для визначення впливу фізичного бар'єру на кількість моно оксиду вуглецю, що утворюється в процесі випалу графітових заготовок.

Ключові слова: температурні поля, моно оксид вуглецю, випал графітових заготовок, шамотна цегла.

Вступ

Серед технологічних операцій виготовлення електродної продукції найбільш важливою є випал, оскільки на цій стадії відбувається формування структури та основних властивостей матеріалу електродів.

Операція випалу полягає в перетворенні зв'язувальної речовини (кам'яновугільний пек) в кокс. Це перетворення відбувається в результаті термічної обробки компонентів до температури 1000-1200°C. Спресовані електроди є блоком, що складається з дрібних частинок різних вуглецевих матеріалів, з'єднаних вугільним пеком. При нагріванні пек набуває нової властивості - перетворюється на кокс. Таким чином створюються коксові гратеги, які додають виробу міцність і одночасно додають йому ряд важливих фізичних властивостей. Формування властивостей і структури вуглекоксопекових систем визначається багатьма факторами: умовами випалу, властивостями наповнювача, властивостями зв'язувальної речовини і ще рядом технологічних та фізико-хімічних особливостей. Треба зазначити, що при випалі властивості наповнювача в основному зберігаються, а речовина, що зв'язує (вугільний пек) зазнає глибоких якісних і структурних змін [1].

Випал відбувається у багатокамерних кільцевих печах з певним часовим циклом теплової обробки заготовок. Згідно технології випалу заготовки розташовуються у камерах печі, засипаються вуглецевим матеріалом для запобігання контакту з нагрівальним агентом, що являє собою повітряно-газову суміш і проходять нагрівання за заздалегідь визначенім часовим регламентом. У процесі випалу підтримуються режимні параметри спалювання природного газу (джерелом виділення теплоти у камерах печі), температурний та аеродинамічний регламент роботи камер печі. Наразі однією з головних технологічних та екологічних проблем при роботі печі є утворення у значних кількостях монооксиду вуглецю, що визначає необхідність розробки певних технічних рішень щодо скорочення викидів СО з камер печі.

Мета роботи

З аналізу роботи камер печі випалу витікає, що створення фізичного бар'єру між вуглецевими матеріалами та потоком повітряно-газового нагрівального агента суттєво зменшить можливості окислення вуглецевих матеріалів у печі і, таким чином, буде сприяти зменшенню утворення шкідливих викидів моно оксиду вуглецю. З цією метою запропоновано перекривати поверхню камер шаром (або шарами) шамотної цегли. Із сказаного витікає постановка задачі дослідження: на основі математичної моделі [2] розробити алгоритм розв'язку, для отримання температурних полів камер з заготовками, з метою аналізу розподілу температур в камері з використанням цеглового укриття та без нього.

Метою цієї роботи є розробка методу, який дозволяє зменшити кількість СО, що утворюється в процесі випалу графітових заготовок. Цей метод не повинен впливати на тепловий регламент багатокамерної печі випалу.

Відомо з літератури [4], що використання укриттів з шамотної цегли, в якості захисного матеріалу від окиснення, дозволяє знизити кількість викидів СО в атмосферу. Авторами [4] в експериментальних дослідженнях встановлено, що створення захисного шару з шамотної цегли дозволило зменшити концентрацію СО у димових газах за печами графітації з 2000 мг/м³ до (500...700) мг/м³.

Методика експериментів

Для твердих елементів печі рівняння енергії (теплопровідності) має вид:

$$\frac{\partial \rho h}{\partial t} = \nabla \cdot (\lambda \nabla T) + q_{volat} \quad (1)$$

При цьому теплопровідність пересипки приймається ефективною величиною $-\lambda_{eff}$, а q_{volat} (Вт/м³) – враховуються теплота утворення літочих в заготовках.

Аналіз горіння метану у печі ґрунтуюється на припущеннях повного згорання природного газу до CO₂ і H₂O. Тоді рівняння хімічної реакції горіння буде мати вид:



Реакція (2) визначається стехіометричними коефіцієнтами і миттєвими термодинамічними параметрами, від яких залежить її швидкість. Турбулентне змішування реагентів є фактором, що обмежує швидкість реакції. Турбулентно-хімічна взаємодія при горінні природного газу описується за допомогою двох моделей: перша – модель обмеженої швидкості реакції на основі закону Ареніуса; друга – модель вихрової дисипації (Магнунсена) [3]. В результаті використовується менше з отриманих значень по швидкості реакції.

Джерело k-ої компоненти хімічної реакції (2) у відповідності з моделлю обмеженої швидкості реакції визначається як:

$$\bar{\omega}_k = W_k Q_k, \quad (3)$$

де W_k - молекулярна вага компоненти, кг/моль; Q_k - молярна швидкість утворення/роздавання компонентів реакції, моль/(м³ · с).

Реакція горіння (1.2) в узагальненому вигляді може бути представлена як:

$$\sum_{k=1}^N v'_k \mathfrak{R}_k \xleftarrow{K_f, K_r} \sum_{k=1}^N v''_k \mathfrak{R}_k, \quad (4)$$

де v'_k, v''_k - стехіометричні коефіцієнти k-го реагенту і продукту реакції, відповідно; \mathfrak{R}_k - символ, який визначає k-у компоненту; K_f, K_r - константа швидкості прямої і зворотної реакції, відповідно, 1/с.

Молярна швидкість розкладу компонентів прямої реакції визначається як:

$$Q_k = v_k \left(K_f \prod_{j=1}^N [X_j]^{v_j} - K_r \prod_{j=1}^N [X_j]^{v_j} \right), \quad (5)$$

де $v_k = v''_k - v'_k$; $[X_j] = \rho Y_j / W_j = \rho_j / W_j$ - молярна концентрація j-го компоненти, моль/м³.

Константа швидкості прямої реакції горіння визначається із закону Ареніуса [5]:

$$K_f = A \exp \left[-\frac{E}{RT} \right], \quad (6)$$

де A=B^a - частотний фактор, 1/с; B, a - постійні реакції; E - енергія активації, Дж/моль.

Константа швидкості зворотної реакції визначається через K_f:

$$K_r = K_f \left[\left(\frac{p_a}{RT} \right)^{\sum_{k=1}^N v_k} \exp \left(\frac{\Delta s^0}{R} - \frac{\Delta h^0}{RT} \right) \right]^{-1},$$

де $p_a = 1$ бар; $\Delta s^0, \Delta h^0$ - зміна мольної ентропії ($\text{Дж}/(\text{моль} \cdot \text{К})$) і ентальпії ($\text{Дж}/\text{моль}$) реакції, відповідно.

Молярна швидкість розкладання компонентів прямої реакції у відповідності з моделлю вихрової дисипації визначається як:

$$Q_k = v_k W_k A p \frac{\epsilon}{k} \min_R \left(\frac{Y_R}{v_R W_R} \right), \quad (7)$$

$$Q_k = v_k W_k A B p \frac{\epsilon}{k} \frac{\sum_p Y_p}{\sum_{j=1}^N (v_j W_j)}, \quad (8)$$

де $A=4, B=0,5$ – емпіричні константи Магнунсена для реагентів і продуктів реакції, відповідно; індекси R, P – відносяться до реагентів і продуктів реакції, відповідно.

У рівняннях (7), (8) швидкість реакції визначається масштабом часу змішування великих вихорів і відношенням k / ϵ як в моделі Сполдінга.

Початкові умови:

$$\begin{cases} T(X)=T_0; \\ V(X)=0; \\ Y_k(X)=Y_{0k}, k=1, N; \\ k(X)=k_0; \\ \epsilon(X)=\epsilon, \end{cases} \quad (9)$$

де $X(x, y, z) \in \Omega$ - декартові координати, м; Ω - розрахункова область.

Границі умови (ГУ):

На вході природного газу (10) і окислювача (гази з попередньої камери 11) **Ошибка!**

Источник ссылки не найден. на виході із камери печі (12)

$$\begin{cases} G=G_{\text{inlet-g}}; \\ Y_{\text{CH}_4}=Y_{\text{CH}_4-\text{inlet}}; \\ T=T_{\text{inlet-g}}; \\ k=k_{\text{inlet-g}}; \\ \epsilon=\epsilon_{\text{inlet-g}}, \end{cases} \quad (10)$$

$$\begin{cases} G=G_{\text{inlet-oxid}}; \\ Y_{\text{O}_2}=Y_{\text{O}_2-\text{inlet}}; \\ T=T_{\text{inlet-oxid}}; \\ k=k_{\text{inlet-oxid}}; \\ \epsilon=\epsilon_{\text{inlet-oxid}}, \end{cases} \quad (11)$$

$$\begin{cases} P_{\text{outlet}}=0; \\ Y_{\text{O}_2}=Y_{\text{O}_2-\text{outlet}}; \\ T=T_{\text{outlet}}; \\ k=k_{\text{outlet}}; \\ \epsilon=\epsilon_{\text{outlet}}, \end{cases} \quad (12)$$

де G - масові витрати, кг/с;

- на границях контакту твердих елементів конструкції печі (абсолютний контакт) (13), газовий тракт печі – канали печі (14) і огороження печі з оточуючим середовищем (15)

$$\begin{cases} \{T\}=0; \\ \{n \times q\}=0, \end{cases} \quad (13)$$

$$\begin{cases} V=0; \\ \{T\}=0; \\ \{n \times q=q_r\}=0, \end{cases} \quad (14)$$

$$n \cdot (-\lambda \nabla T) = \alpha_{eff}(T)(T - T_{env.sp}), \quad (15)$$

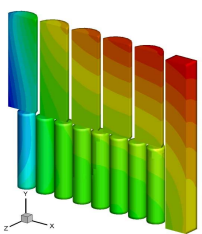
де $\{T\}=T^+ - T^-$; $\{n \cdot q\}=n^+ \cdot q^+ - n^- \cdot q^-$; $q=-\lambda \nabla T$ - вектор густини теплового потоку, Вт/м²; n – вектор нормалі до поверхні контакту; q_r – вектор густини радіаційного теплового потоку, Вт/м²; α_{eff} – ефективний коефіцієнт тепловіддачі, Вт/(м² · К); $T_{env.sp}$ – температура оточуючого середовища, К.

Обговорення результатів

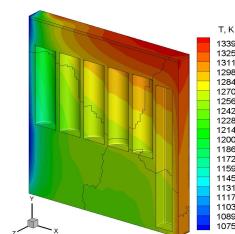
Результати розрахунків показані нижче у вигляді температурних полів камер з заготовками (рис.).

З аналізу отриманих результатів можна сказати, що наявність бар'єру з шамотної цегли [4] несуттєво вплинула на температуру випалу заготовок. Максимальне пониження температури, зафіковане при розрахунках досягає 7 °C.

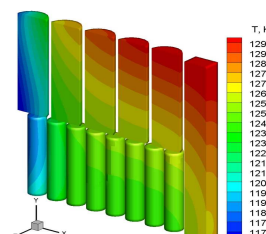
Отримані результати свідчать про те, що і на аеродинамічний режим укриття не вплинуло.



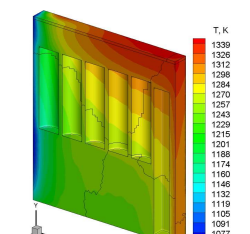
з цегловим укриттям



з цегловим укриттям



без цеглового укриття



без цеглового укриття

Рис. - Температурні поля камер з заготовками з цегловим укриттям та без нього

Висновки

1. Виконані розрахунки температурних полів камер печі випалу заготовок графітових електродів без укриття верху камер випалу і з укриттям з шамотної цегли.

2. Чисельне моделювання процесу випалу заготовок графітових електродів у камерній печі показало, що наявність бар'єру з шамотної цегли несуттєво впливає на температуру випалу заготовок і аеродинамічний режим роботи камер печі випалу.

3. Відмінність рівня температур у досліджених варіантах випалу (з укриттям та без укриття) становить не більше 7 °C.

4. Очікуване зниження концентрації викидів монооксиду вуглецю становить сумарно від максимальної (~2,1 г/м³) до менше ніж (1...1,5) мг/м³.

5. Отримані результати можуть бути впроваджені у виробництво для досягнення технологічного та екологічного ефектів.

Список літератури: 1. Санников А. К. Производство электродной продукции / Санников А. К., Сомов А. Б., Ключников В.В. и др. — М. : Металлургия, 1985. — 129 с. 2. Карвацький А. Я. Математична модель тепло-гідродинамічного стану багатокамерної печі при випалюванні електродних заготовок /

Карвацький А. Я., Пулінець І. В., Шилович І. Л // Восточно-Европейский журнал передовых технологий. — 2012. - №1/4(55). — С.33 — 37. 3. Magnussen B. F. On mathematical models of turbulent combustion with special emphasis on soot formation and combustion [Текст] / B. F. Magnussen, B. H. Hjertager // In 16th Symp. (Int'l.) on Combustion. The Combustion Institute. - Pittsburgh, 1976 - Р. 719-727 4. Аленъкин Д. Я. Пути повышения экологических характеристик процесса графитации / Аленъкин Д. Я., Распопов М. Г., Власова Т. Б.// Технологические процессы и оборудование электродного производства: Сб.науч.тр. /НИИграфит, ГОСНИИЭП. – М., 1989. – 77-81с.

Надійшла до редколегії 20.12.2012

УДК 66.094.3

Зниження концентрації со в процесі випалу графітових заготовок/ Карвацький А. Я. Шилович І. Л., Крутоус Л. В., Кутузов С. В. // Вісник НТУ «ХПІ». Серія: Нові рішення в сучасних технологіях. – Х: НТУ «ХПІ», – 2012. - № 68 (974). – С. 201-205. – Бібліогр.: 4 назв.

Проведены расчеты температурных полей камер печи с заготовками для определения влияния физического барьера на количество моно оксида углерода, образующегося в процессе обжига графитовых заготовок.

Ключевые слова: температурные поля, моно оксид углерода, обжиг графитовых заготовок, шамотный кирпич.

It was done calculations of temperature fields of cameras of the furnace with workpieces for definition of influence of a physical barrier on amount of mono oxide of the carbon which is formed in the prosess of graphite workpieces annealing are carried out. names.

Keywords: temperature fields, mono oxide of carbon, annealing of graphite workpieces, firebrick.

УДК 536.24

Ю. О. КОБРИНОВИЧ, аспирант, ИПМаш НАН Украины, Харьков

ПОСТРОЕНИЕ СТРУКТУРНО-РАЗНОСТНЫХ МОДЕЛЕЙ ВЫСОКОСКОРОСТНЫХ ТЕПЛОВЫХ ПРОЦЕССОВ С ОСЦИЛИРУЮЩИМ ТЕПЛООБМЕНОМ

Математические модели построены на базе совместного применения регионально-структурного или структурного методов, S-функций и разностных схем высокого порядка точности.

Ключевые слова: математическое моделирование, высокоскоростные тепловые процессы, структурно-разностные модели.

Введение. Решение задач теплопроводности с нестационарными граничными условиями для областей сложной формы в случае высокоскоростных тепловых процессов встречает ряд трудностей принципиального характера и у численных методов, и у аналитических методов.

При решении нестационарных задач теплопроводности с помощью численных методов, усилия аппроксимации направлены одновременно на приближенное удовлетворение дифференциальному уравнению, осцилирующим граничным условиям и осцилирующим внутренним источникам (стокам) энергии. Результирующая погрешность для задач с высокими скоростями теплообмена оказывается выше предельно допустимой, что ограничивает область применения численных методов для разностных схем второго порядка точности задачами теплопроводности с медленно протекающими процессами.

Получить точные решения классическими аналитическими методами можно получить только для отдельных задач теплопроводности в случаях когда области исследования имеют каноническую форму.

Актуальной оказывается разработка численно-аналитических подходов к задачам теплопроводности с высокоскоростными нестационарными граничными условиями, которые позволяли бы решать соответствующие задачи с высокой степенью точности, и не были ограничены ни по градиенту температур по времени и координатам, ни по скорости и

характеру изменения нестационарных граничных условий.

© Ю. О. КОБРИНОВИЧ, 2012